

① Chap 4

processus interaction rayt ↔ matière

Atmosphère { ① Emission thermique $L(\lambda, \vec{r}) = \epsilon(\lambda, \vec{r}) B(\lambda, T)$
émission C.V.

① et ②

échange énergie
entre radiative
et interne

⇒ dpt de d

à b fixé

redistribution

surface du rayt

+ Source A0 laire

+ Surface Terrestre

② Absorption

* ray atmosphériques (souvent des minoritaires)
* particules (aérosols et nuages)

③ Diffusion

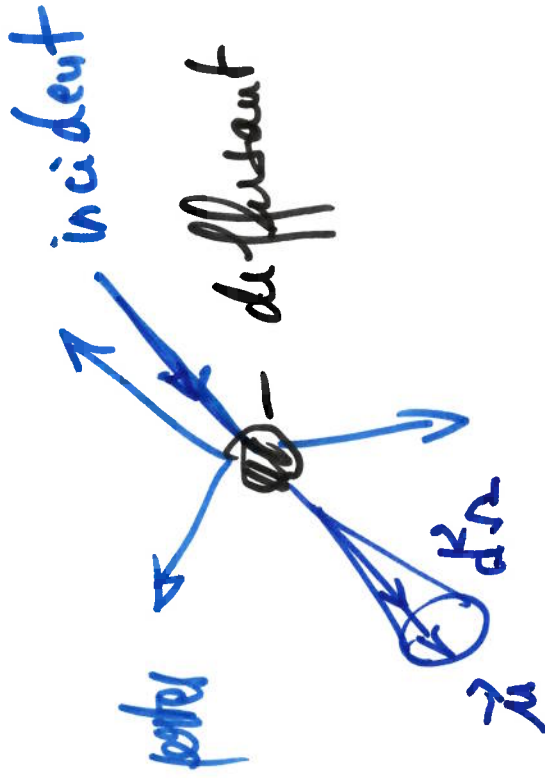
* ray atmosphère (majoritaires)

* particules (aérosols et nuages)

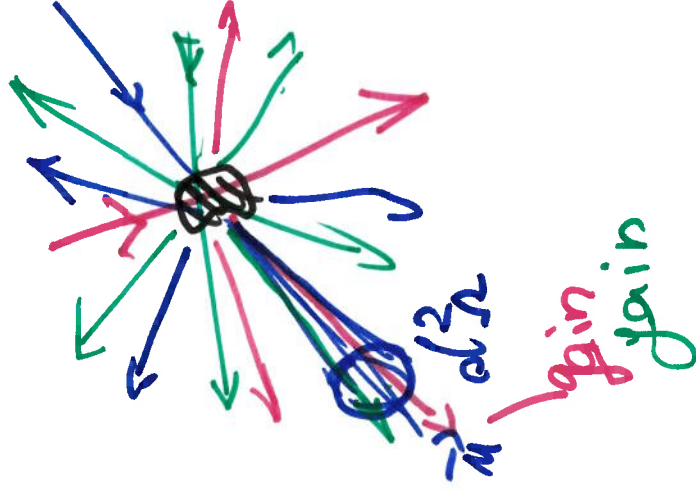
émission, absorption, réflexion

② Gains et pertes par diffusion

Pertes



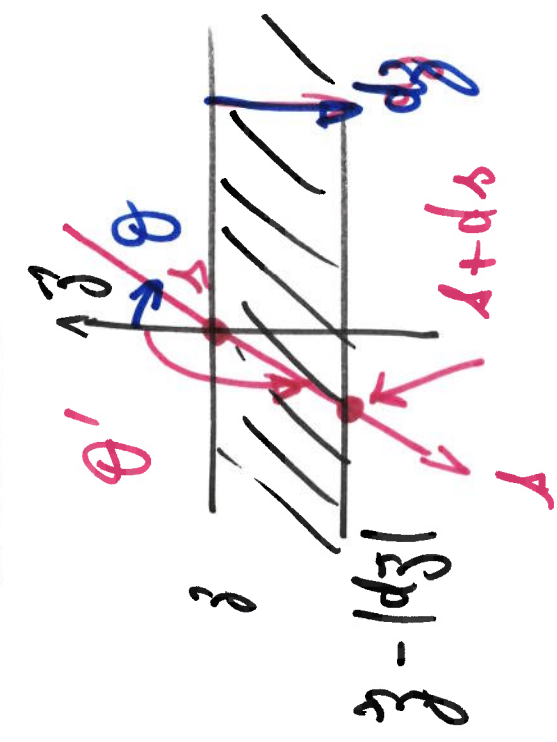
Gains



- pertes seulement si
- flux incident parallèle
 - pas de diffusion multiple

③ I Absorption : répartition verticale en flux incident

- éclairément
 - pertes par absorption (idem si pertes par diffusion) atmosphère plane
- 2.1 loi de Lambert et épaisseur optique



$\pi/2 \leq \theta' < \pi$ or $\theta' < 0$
 θ : angle zénithal $0 < \theta < \pi/2$

$\cos \theta > 0$
 $ds > 0$ $dz < 0$

$dz = ds \cos \theta'$
 $dz = -ds \cos \theta$

$F_r(\varphi) = \frac{d^3 \Phi}{d^2 \Sigma d\Omega} = \frac{d^2 \Phi_r}{d^2 \Sigma} \quad (\text{Wm}^{-2} \text{Hz}^{-1})$

④

Loi de Lambert $\frac{dF_v}{ds} = -k_v F_v$

k_v (m^{-1}) $k_v(x) = \sigma_v \times n(x)$ σ_v section efficace
 $m^{-1} = m^2 \times m^{-3}$ description

Épaisseur optique élémentaire $d\tau_v(x) = k_v(x) ds$
sans unité

= Probabilité d'être absorbé dans cette couche

épaisseur optique d'une couche selon direction \vec{s}

$\frac{dF_v}{F_v} = -d\tau_v$

$\tau_v(x_1, x_2) = \int_{x_1}^{x_2} k_v ds = \int_{x_1}^{x_2} \sigma_v n(s) ds$

$\Rightarrow L_h F_v = -\tau_v + Cte$

Transmission $T_v(x_1 \rightarrow x_2) = \frac{F_v(x_2)}{F_v(x_1)} = \exp[-\tau_v(x_1, x_2)]$

⑤ Absorption dans la couche $A_v = 1 - T_v$

$$A_v = 1 - e^{-\tau_v} \quad \text{si } \tau_v \ll 1$$

$$A_v \approx \tau_v$$

Cas où τ_v dépend de z

$$\tau_v(x_1, x_2) = \int_{x_1}^{x_2} \sigma_v n(s) ds = \sigma_v \left[\int_{x_1}^{x_2} n(s) ds \right] \frac{1}{N(x_1, x_2)} \quad (\text{m}^{-1})$$

Cette dernière est interprétée entre x_1 et x_2

$$\tau_v(x_1, x_2) = \sigma_v N(x_1, x_2)$$

$$\tau_v(z_1, z_2; \theta) = \tau_v(z_1, z_2; \theta=0) \times \left[\frac{1}{\cos \theta} \right] = \sec \theta \quad \text{avec } \theta$$

⑤ bis Car on aboutissant à répartition exponentielle

$$n(z) = n(z_0) \exp\left(-\frac{z-z_0}{H}\right) \quad H \text{ échelle de hauteur}$$

$$\frac{d \ln(n(z))}{dz} = -\frac{1}{H}$$

à la verticale $N(z_1, z_2) = n(z_0) H \int_{z_1}^{z_2} \exp\left(-\frac{z-z_0}{H}\right) dz$

$$N(z_1, z_2) = n(z_1) H \int_{z_1}^{z_2} \exp(-u) du$$

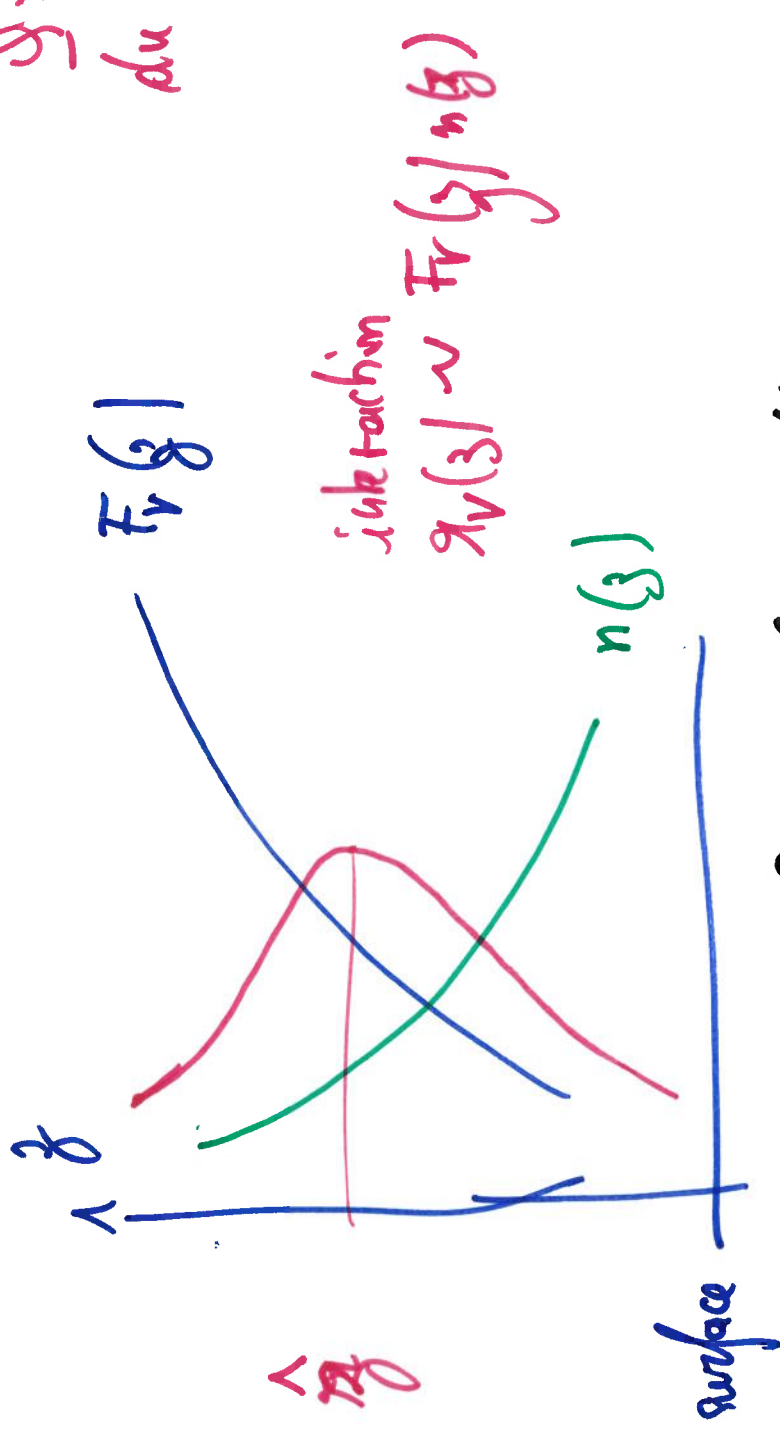
$$= n(z_1) H \left[1 - \exp\left(-\frac{z_2-z_1}{H}\right) \right]$$

$$N(z_1, \infty) = n(z_1) H$$

$$z_v = \sigma_v N \quad \frac{1}{z_v} \frac{dz_v}{dz} = -\frac{1}{H}$$

⑥ I.2 Profil de Chapman

z : altitude ↑
du max de $\sigma_V(z)$



- tip - atmosphère plan //
- en seul absorbant
 - σ_r indépendante de z exponentielle
 - absorbant en surfart

(7)

$$z_v(z, \theta) = \sigma_v N(z) \sec \theta = \sigma_v h(z) H \sec \theta$$

z oblique entre 0 et ∞

$$= \sigma_v h(z) H \sec \theta e^{-z/H}$$

au dessus de z
z → ∞

cut. en inf. = 0 à l'∞
intégré !
vertical !
cut. inf. oblique total

$$F_v(z, \theta) = F_v(z=\infty) \exp \left[-z_v(z; \theta) \sec \theta \right] e^{-z/H}$$

$$F_v(z) = \frac{dF_v}{dz} = \frac{dF_v}{dz} > 0 \text{ avec } z$$

(8)

loi de Lambert

$$n_r(z) = - \frac{dF_r}{dz}$$

$$\frac{d\tau_r}{ds} = - \frac{dF_r}{d\tau_r} \quad [\theta(0, \infty; \theta)]$$

$$n_r \sim n(x) \times F_r(z)$$

$$\text{Max}(z_r) \quad \bar{z} = z \quad \frac{d \ln n_r}{dz} = 0$$

$$\frac{1}{n} \frac{dn}{dz}$$

$$+ \frac{1}{F_r} \frac{dF_r}{dz} = 0$$

$$- \frac{1}{H}$$

$$\frac{1}{F_r} \frac{dF_r}{d\tau_r}$$

$$\frac{d\tau_r}{dz} = 0$$

$$-1$$

$$- \frac{1}{H}$$

$$\Rightarrow -\frac{1}{H} + \frac{1}{z_r} = 0$$

$$z_r(\bar{z}) = 1$$

suppose que

$$z_r(0, \infty; \theta) > 1$$

5

$$r_v(\hat{z}) = 1 = \sigma_v n(0) H \sec \theta e^{-\hat{z}/H}$$

$$\hat{z} = H \ln(\sigma_v n(0) H) + H \ln \sec \theta$$

$$\hat{z} = \hat{z}_0 + H \ln \sec \theta$$

\nearrow is $\sigma_v n(0) H$ \nearrow is $\sec \theta$

$$\hat{r}_v = r_v(\hat{z}) = \sigma_v n(\hat{z}) F_v(\hat{z}; \theta)$$

$$\hat{r}_v = \frac{F_v(\infty)}{e^H} \left(\sigma_v n(\hat{z}) H \times \sec \theta \times \cos \theta \right)$$

$$|\hat{r}_v(\hat{z}, \theta)| = 1$$

$$\boxed{\hat{r}_v = \frac{F_v(\infty)}{e^H} \cos \theta}$$

(10) Profil de Chapman normalisé

$$Z = \frac{y - z_0}{H} \quad R = \frac{\pi}{\pi_0}$$

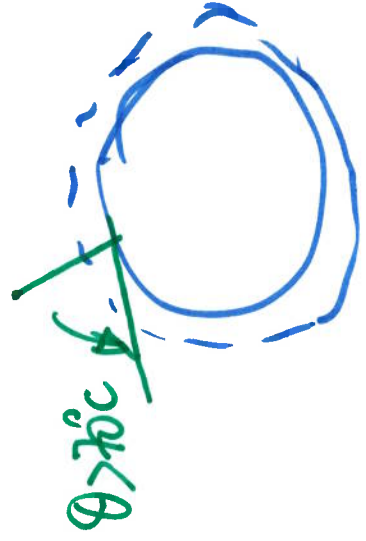
0 pour $\theta = 0$

$$R(z) = \exp(1 - z - \sec \theta e^{-z})$$

à très haute altitude $R(z)$ indépendante de la direction

\hat{z} si $\theta \rightarrow$

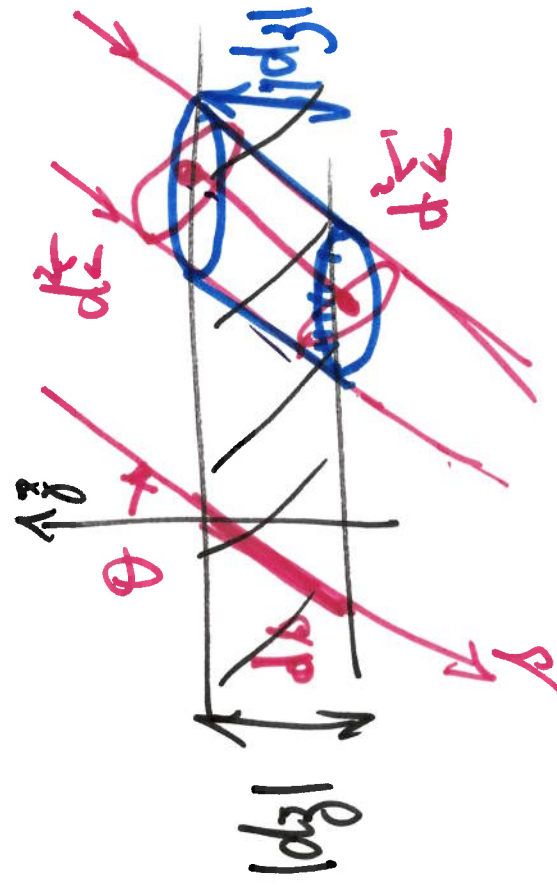
N.B.: au de là de 70° , pb potentielle de la Terre



① Taux de chauffage par absorption

Intégrer dans la bande d'absorption $F = \int_{\nu_1}^{\nu_2} F_{\nu} d\nu$

F en $W m^{-2}$ $\kappa = -\frac{dF}{dS}$ ($W m^{-3}$)



Volume d^3V découpé par un tube de lumière traversant la couche avec angle θ par rapport à l'axe z

$d^3V = d^2s |d\mathbf{s}| = d^2s \times dz$

$+ F(\theta) d^2s$
 $- F(\theta + d\theta) d^2s$

$= \frac{dH}{d^3V}$

H enthalpie volumique

Q2

$$-\frac{dF}{ds} \frac{ds}{dt} = \frac{dH}{dt}$$

$$\frac{dH}{dt} = -\frac{dF}{ds} \quad (W m^{-3})$$

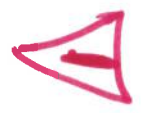
$$dH = \rho g dh$$

$$\rho g \frac{dT}{dt} = -\frac{dT}{ds} > 0$$

taux de chauffe
par absorption

$$\frac{dT}{dt} = -\frac{1}{\rho c_p} \frac{dF}{ds}$$
$$= + \frac{\rho c_p \theta}{\rho c_p} \frac{dF}{dt}$$

majoritaires



n_{abs}^1 désignant l'absorbant
 H_{abs} son échelle de hauteur

absorbant

\neq nair et H'air majoritaires

(13)

$x_{abs} = \text{rapport de mélange de l'absorbant}$

$$x_{abs}(x) = \frac{n_{abs}(x)}{n_{air}(x)}$$

$$p_{\text{air}} = n_{air} \cdot c_p \quad \left| \begin{array}{l} \text{massique} \\ \text{par molécule} \end{array} \right.$$

radialif

$$\frac{dT}{dt} = \frac{n_{abs}(\beta)}{c_p} \quad n_{air}(\beta)$$

$$F(\beta) = \frac{n_{abs}(\beta) F(\beta)}{c_p}$$

énergie interne

$$\text{max de } \frac{dT}{dt} = \text{max } x(\beta) \times F(\beta) \text{ max}$$

hypothèses

$$n_{abs}(\beta) \sim \exp(-\beta/H_{abs})$$

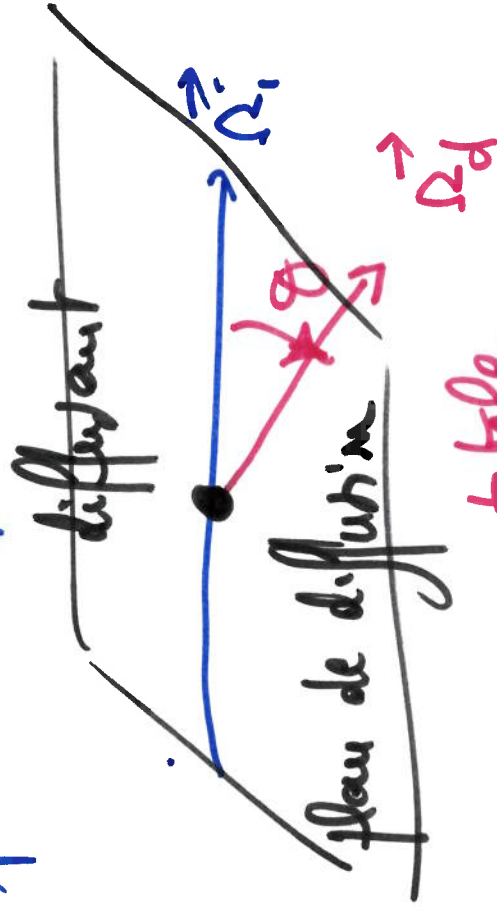
$$n_{air}(\beta) \sim \exp(-\beta/H_{air})$$

$$H_{abs} < H_{air}$$

II. Diffusion (scattering)

II.1 Caractérisation de la diffusion

Hypothèse: source incident parallèle à l'axe \vec{z}_i



$\theta =$ angle de diffusion

totale

section efficace de diffusion par un diffusant σ_{scatt} (m^2)

$$\frac{dF_i}{ds} = - n_{scatt} \vec{k} \sigma_{scatt}$$

F_i éclairement $W m^{-2}$

$$(W m^{-3}) = m^{-3} m^2 W m^{-2}$$